

УДК 533.601.135

А. Н. Белоглазкин, В. Я. Шкадов

## ТРАНСЗВУКОВЫЕ ПРОФИЛИ МИНИМАЛЬНОГО ВОЛНОВОГО СОПРОТИВЛЕНИЯ С ПОРИСТОЙ И НЕПРОНИЦАЕМОЙ ПОВЕРХНОСТЬЮ

Образование скачка уплотнения при трансзвуковом обтекании профиля приводит к увеличению коэффициента сопротивления  $c_x$  — появляется дополнительное волновое сопротивление. Для уменьшения интенсивности скачка уплотнения можно использовать перфорацию поверхности [1]. Перфорированные поверхности выравнивают течение в потоке до однородности высокой степени и ликвидируют отражение скачков и других возмущений. Эти свойства используются при создании различных газодинамических устройств.

В последнее время активно разрабатывается идея ослабления скачка уплотнения за счет создания подходящего проницаемого участка на поверхности крылового профиля. Практически эта идея осуществляется путем создания перфорированной поверхности с полостью под ней, расположенной в зоне скачка (рис. 1). Разность давлений на скачке вызывает обратное течение через эту внутреннюю полость из области с высоким давлением за скачком в область с низким давлением перед скачком. В результате этого снижается интенсивность скачка уплотнения и волновое сопротивление. Данное устройство позволяет полностью избежать при этом энергетических затрат [2].

Алгоритм численного решения задачи обтекания крылового профиля при трансзвуковых скоростях на основе уравнения для полного потенциала представлен в [3]. Там же дан обзор основных работ.

Использование конформного преобразования  $\zeta(z)$  внешности крылового профиля на полуполосу  $[0, +\infty) \times [0, 2\pi]$  приводит к более удобной постановке граничных условий. В полученной системе координат уравнения для полного потенциала скорости  $\phi(\xi, \eta)$  принимают вид

$$\begin{cases} \frac{\partial}{\partial \xi} \left( \rho \frac{\partial \phi}{\partial \xi} \right) + \frac{\partial}{\partial \eta} \left( \rho \frac{\partial \phi}{\partial \eta} \right) = 0, \\ \rho^{\gamma-1} = 1 + \frac{\gamma-1}{2} M_\infty^2 \left[ 1 - J \left( \frac{\partial \phi^2}{\partial \xi^2} + \frac{\partial \phi^2}{\partial \eta^2} \right) \right], \end{cases} \quad (1)$$

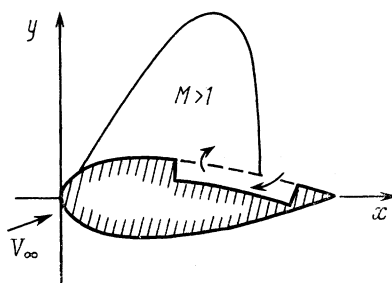


Рис. 1

где  $J = \left| \frac{d\xi}{dz} \right|$  — якобиан конформного преобразования  $\xi=\xi(z)$ ,  $\rho$  — плотность,  $M_\infty$  — число Маха набегающего потока,  $\gamma$  — отношение удельных теплоемкостей. Уравнения (1) дополняются условиями на поверхности тела ( $\xi=0$ ):

$$v_n = \frac{\partial \varphi}{\partial \xi} \sqrt{J},$$

в невозмущенном потоке ( $\xi \rightarrow \infty$ ):

$$\begin{cases} \varphi = x \cos(\alpha) + y \sin(\alpha) + \frac{\Gamma}{2\pi} \operatorname{arctg} \left( \sqrt{1-M_\infty^2} \frac{y}{x} \right), \\ x = x(\xi, \eta), \quad y = y(\xi, \eta). \end{cases} \quad (2)$$

Кроме этого задается условие, гарантирующее единственность решения. В рассматриваемой задаче обтекания профиля с одной точкой излома, совпадающей с его задней кромкой, таковым является условие Жуковского—Чаплыгина на задней кромке профиля ( $\xi=0, \eta=0$ ):  $\frac{\partial \varphi}{\partial \eta} = 0$ .

Особенность данной задачи заключается в необходимости определять нормальную составляющую скорости на поверхности крылового профиля. На проницаемой части профиля нормальная составляющая скорости, согласно закону Дарси, пропорциональна разности давлений снаружи и внутри полой области:

$$v_n = \frac{\partial \varphi}{\partial \xi} \sqrt{J} = \frac{\sigma}{2} (c_p^k - c_p). \quad (3)$$

Если во внутренней полости нет источников массы, то суммарный поток массы через проницаемую поверхность равен нулю:

$$\oint \rho v_n ds = 0$$

и значение давления во внутренней полой области определяется выражением

$$c_p^k = \frac{\oint \sigma p c_p ds}{\oint \sigma p ds}.$$

В работе [4] было продемонстрировано снижение волнового сопротивления для профиля NACA 0012, имеющего на верхней и нижней поверхностях проницаемый участок в области  $x_0 < x < x_1$  ( $x_0=0, 1; x_1=-1$ ), для следующего закона распределения проницаемости:

$$\sigma(x) = \sigma_m \sqrt{\sin \left( \pi \frac{x - x_0}{x_1 - x_0} \right)}, \quad (4)$$

Бесциркуляционное обтекание ( $c_y=0$ ) профиля NACA 0012 исследовано при распределении проницаемости (4) и различных значениях  $\sigma_m$  ( $\sigma_m=0,3; 0,6; 0,9$ ). На рис. 2 представлено сравнение зависимости коэффициента сопротивления  $c_x$  от числа Маха набегающего потока  $M_\infty$  с расчетными данными работы [4]. Для случая  $\sigma_m=0,9$  сверхзвуковая зона возникает при  $M_\infty=0,78$  и занимает область до  $x_{ck}=0,6$ . Зависимость числа Маха

$$M_k = \sqrt{\frac{\gamma-1}{2} \left[ 1 - \left( \frac{p_0}{p^k} \right)^{\frac{\gamma-1}{2}} \right]}$$

( $p^k$  — давление во внутренней полости,  $p_0$  — полное давление) от числа Маха набегающего потока  $M_\infty$  показывает, что значение  $M_k=1,04$  ( $M_\infty=0,8$ ) соответствует возникновению скачка уплотнения и началу

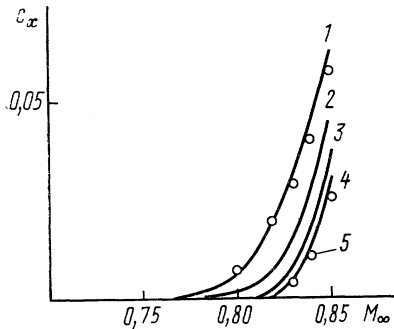


Рис. 2. Зависимость коэффициента сопротивления  $c_x$  от числа Маха набегающего потока  $M_\infty$ : 1 —  $\sigma_m=0,0$ ; 2 — 0,3; 3 — 0,6; 4 — 0,9; 5 — работа [4]

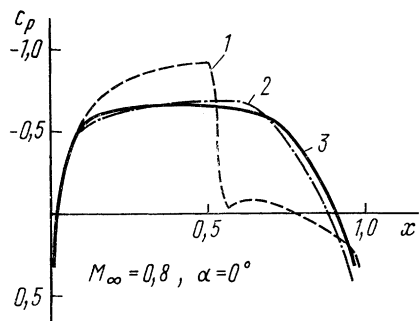


Рис. 3. Распределение давления  $c_p$  на поверхности 1 — NACA 0012,  $\sigma_m=0,0$ ; 2 — MOD 1/0,80,  $\sigma_m=0,0$ ; 3 — NACA 0012,  $\sigma_m=0,9$

роста волнового сопротивления. Использование проницаемости в этом случае (рис. 3) позволяет полностью ликвидировать волновое сопротивление при сохранении сверхзвуковой зоны на профиле.

Рассмотрим циркуляционное обтекание крылового профиля NACA 0012 при  $\alpha=2^\circ$ , когда только верхняя поверхность профиля имеет проницаемый участок с распределением проницаемости (4) в интервале от  $x_0=0,1$  до  $x_1=1,0$  и  $\sigma_m=0,9$ . Использование перфорации в данной задаче позволяет не только снизить волновое сопротивление крылового профиля, но и существенно увеличить значение подъемной силы (рис. 4). Последнее происходит, когда совпадают направления циркуляционного течения через проницаемый участок и циркуляции во внешнем потоке. Увеличение значения коэффициента подъемной силы от  $c_y=1,269$  до  $c_y=1,632$  ( $\Delta c_y=0,363$ ) наблюдается, например, в случае докритического течения ( $M_\infty=0,3$ ;  $\alpha=10^\circ$ ;  $x_0=0,01$ ;  $x_1=1$ ), когда при больших углах атаки образуется значительный положительный градиент давления на верхней поверхности профиля.

Представленные примеры течений около крылового профиля с проницаемым участком и без источника во внутренней полости под ним дают возможность построить относительно простой алгоритм получения непроницаемого крылового профиля с улучшенными аэродинамическими характеристиками. Основная идея метода заключается в построении контура профиля, состоящего из части нулевой линии тока, вычисленной по полю течения около заданного профиля с перфорированной поверхностью. Волновое сопротивление снижается вследствие того, что в сверхзвуковую зону непосредственно перед скачком происходит вдув воздуха, который притормаживает поток, а за скачком — отсос воздуха, который препятствует смещению скачка вверх по потоку. При этом нулевая линия тока, отойдя от поверхности про-

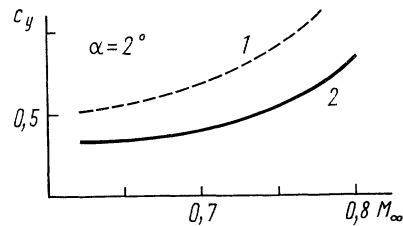


Рис. 4. Изменение значения подъемной силы  $c_y$  в зависимости от  $\sigma_m$  и  $M_\infty$ : 1 —  $\sigma_m=0,9$ ; 2 — 0,0

филя, в конце проницаемого участка снова присоединяется к ней. В результате образуется замкнутый контур, снаружи которого при подходящем подборе зоны проницаемости может реализоваться бесскакковое течение.

Рассмотрим подробнее способ построения нулевой линии тока. Пусть она проходит через переднюю кромку крыла. В этом случае значение функции тока на контуре профиля можно найти, интегрируя полученное из закона Дарси (3) распределение нормальной составляющей скорости:

$$\psi(0, \eta_1) = \int_{\eta_0}^{\eta_1} \rho v_n ds = \frac{1}{2} \left( c_p^k \int_{\eta_0}^{\eta_1} \rho \sigma ds - \int_{\eta_0}^{\eta_1} \rho \sigma c_p ds \right). \quad (5)$$

Значение функции тока  $\psi(\xi, \eta)$  в расчетной области аппроксимируем следующей суммой:

$$\psi(\xi, \eta) = \psi_1(\xi, \eta) + \psi_2(\xi, \eta) + C(\eta) e^{-\xi}.$$

Первый член этой суммы связан с направлением невозмущенного потока (2):

$$\psi_1(\xi, \eta) = F_\infty e^\xi \sin(\eta + \varepsilon - \alpha)$$

( $F_\infty$  — модуль производной конформного преобразования крылового профиля на окружность), второй определяется наличием циркуляции  $\Gamma$  в (2):

$$\psi_2(\xi, \eta) = -\frac{\beta\Gamma}{2\pi} \left[ \xi + \frac{1}{2} \ln(1 - M_\infty^2 \sin^2(\eta + \varepsilon)) \right] (\beta^2 = 1 - M_\infty^2),$$

а третий член — значением функции тока на контуре профиля (5). В этом случае значение  $\xi_1$ , при котором  $\psi(\xi_1, \eta_1) = 0$ , находится из решения трансцендентного уравнения

$$F_\infty \sin(\eta + \varepsilon - \alpha) (e^\xi - e^{-\xi}) - \frac{\beta\Gamma}{2\pi} \left[ \xi + \frac{1}{2} \ln(1 - M_\infty^2 \sin^2(\eta + \varepsilon)) \cdot (1 - e^{-\xi}) \right] + \psi(0, \eta) e^{-\xi} = 0. \quad (6)$$

Замена  $\xi$  на  $\operatorname{sh}(\xi)$  позволяет свести (6) к уравнению второго порядка относительно  $t = e^\xi$ :

$$\left( F_\infty \sin(\eta + \varepsilon - \alpha) - \frac{\beta\Gamma}{4\pi} \right) (t^2 - 1) - \frac{\beta\Gamma}{4\pi} \ln(1 - M_\infty^2 \sin^2(\eta + \varepsilon)) \times \\ \times (t - 1) + \psi(0, \eta) = 0.$$

С помощью данного алгоритма были проведены численные расчеты, в результате которых получены обводы «модифицированных профилей» с непроницаемой поверхностью.

На основе бесциркуляционного обтекания профиля NACA 0012 с проницаемым участком на нижней и верхней поверхностях построен профиль MOD1/0,80, который проектировался для  $M_\infty = 0,80$ . Условие  $M_k \approx 1,04$  обеспечивает максимальное увеличение площади, ограниченной контуром профиля. При  $M_k < 1,04$  получается практически бесскакковый профиль (рис. 5).

Для циркуляционного обтекания профиля NACA 0012 при угле атаки  $\alpha = 2^\circ$  и с проницаемым участком, расположенным на верхней поверхности в интервале от  $x_0 = 0,1$  до  $x_1 = 1$ , при  $\sigma_m = 0,9$  были постро-

ены обводы профилей MOD2/0,63; MOD2/0,70; MOD2/0,72 и MOD2/0,73, спроектированных для чисел Маха набегающего потока  $M_\infty=0,63$ ; 0,70; 0,72 и 0,73 соответственно. Особенность полученных профилей в том, что они не только имеют меньшее волновое сопротивление по сравнению с исходным, но и обладают более высоким значением подъемной силы. Вдув массы воздуха в сверхзвуковой области (начало проницаемого участка) и последующий отсос этой массы в дозвуковой области (конец проницаемого участка) формируют нулевую линию тока в виде наплыва над проницаемым участком. В начале наплыва, в сверхзвуковой зоне, поток поджимается и тормозится до скорости звука, которая достигается на вершине наплыва. Дальнейшее торможение потока происходит за счет его расширения в дозвуковой области.

Были проведены расчеты обтекания новых профилей. В таблице дается сравнение аэродинамических характеристик полученных профилей и характеристик исходного профиля NACA 0012 с проницаемым участком и без него. В таблице указано также значение коэффициента

$M_\infty$	Профиль	$\sigma_m$	$c_x$	$c_y$	$c_m$	$M_k$
0,63	NACA 0012	0,0	0,00031	0,33195	-0,08589	0,8168
	NACA 0012	0,9	-0,00004	0,53444	-0,19899	
	MOD2/0,63	0,0	0,00005	0,52647	-0,19120	
0,70	NACA 0012	0,0	0,00124	0,39222	-0,09905	0,9684
	NACA 0012	0,9	0,00075	0,67254	-0,25949	
	MOD2/0,70	0,0	-0,00006	0,67340	-0,25047	
0,72	NACA 0012	0,0	0,00327	0,43178	-0,10731	1,0373
	NACA 0012	0,9	0,00159	0,75519	-0,29945	
	MOD2/0,72	0,0	0,00064	0,78701	-0,30054	
0,73	NACA 0012	0,0	0,00587	0,45961	-0,11634	1,0814
	NACA 0012	0,9	0,00262	0,81196	-0,32921	
	MOD2/0,73	0,0	0,00312	0,87870	-0,34890	

момента  $c_m$ . При  $M_\infty=0,72$  для исходного профиля NACA 0012 и построенного MOD2/0,72 значения числа Маха перед скачком  $M_{ck}$  соответственно равны 1,28 и 1,15.

Для различных внешних условий обтекания крылового профиля с проницаемым участком, используя данную процедуру построения нулевой линии тока, можно получать новые обводы с улучшенными аэродинамическими характеристиками. Отметим, что значения аэродинамических коэффициентов новых профилей близки к соответствующим значениям исходных профилей с проницаемым участком при бесскаковых режимах обтекания.

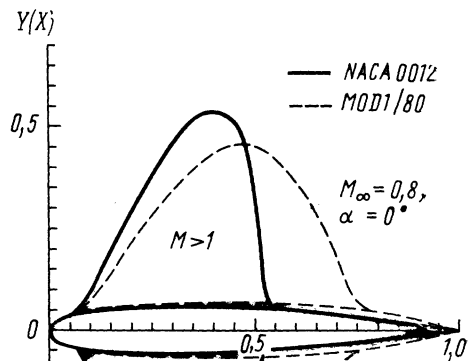


Рис. 5. Изменение сверхзвуковой области в зависимости от формы профиля

## СПИСОК ЛИТЕРАТУРЫ

1. Ковальнов С. А., Фомин В. М., Шаповалов Г. К. Экспериментальное исследование возможности пассивного управления взаимодействием скачка уплотнения с пограничным слоем//Уч. зап. Центр. аэро-гидродинам. ин-та. 1987. 18, № 4. 112—116.
2. Ковальнов С. А., Шаповалов Г. К. Экспериментальное исследование влияния перепуска воздуха в районе скачка уплотнения на аэродинамические характеристики профиля//Уч. зап. Центр. аэро-гидродинам. ин-та. 1991. 22, № 2. 95—99.
3. Белоглазкин А. Н., Шкадов В. Я. О влиянии проницаемости профиля на положение и интенсивность скачка уплотнения при трансзвуковых скоростях//Вестн. Моск. ун-та. Матем. Механ. 1992, № 5. 64—69.
4. Chen C.-L., Show C.-Y., Hoilst T. L., Van Dalsem W. R. Numerical simulation of transonic flow over porous airfoils//AIAA Paper. 1985. 85—5022. 1—8.

Поступила в редакцию  
17.06.94